

نحوه تغییرات مجذور فرکانس (ω^2)
 در فاصله بین مودهای طبیعی
 عبدالحمید حنانه* - منصور نیکخواه بهرامی**

چکیده:

برای یک سیستم ارتعاشی می‌توان نشان داد که ω^2 در مودهای طبیعی ارتعاش دارای نقطه ایستا (وبه عبارت دیگر اکسترمم) است و بجز مسئله ذکر شده که تغییرات ω^2 در همسایگی هر یک از مودهای طبیعی ناچیز می‌باشد، در باره نحوه تغییرات ω^2 در فاصله بین مودهای طبیعی چیزی بیان نشده. ادعای Rayleigh مبنی بر اینکه در هر سیستم ارتعاشی، ω^2 در اولین مود طبیعی دارای کوچکترین مقدار ممکن خود است (مینیمم مطلق) توسط Bickley, Temple اثبات گردیده و به این معنا است که مودهای مقید (و دیگر مودهای طبیعی)، دارای فرکانسی بزرگتر از اولین فرکانس طبیعی هستند. همچنین می‌توان نشان داد که در سیستمهای با تعداد محدودی درجه آزادی، بزرگترین فرکانس قابل دسترسی، آخرین فرکانس طبیعی است و فرکانس مودهای مقید (و دیگر مودهای طبیعی) از بزرگترین فرکانس طبیعی، کوچکترند. نهایتاً "می‌توان گفت که کلیه حالات ارتعاشی یک سیستم با تعداد درجات آزادی محدود دارای فرکانسی مابین اولین و آخرین فرکانس طبیعی آن سیستم خواهند بود. در باره رفتار تابع ω^2 در غیر از مودهای طبیعی (فاصله بین مودهای طبیعی) نمی‌توان چیزی افزود مگر آنکه نحوه تغییرات شکل مود سیستم ارتعاشی به وضوح معین شود. در این بحث، تمهیدی بکار گرفته شده که در آن تابع شکل مود بطور هموار و یکنواختی با تغییر یک پارامتر ظاهری p از یک مود طبیعی به مود طبیعی دیگری تغییر حالت دهد، به این ترتیب می‌توان ω^2 را به صورت تابعی از متغیر p در هر محدوده مورد نظری در فاصله بین مودها رسم نموده و رفتار آن را بررسی کرد. در ادامه بحث، مسئله برای حالت ارتعاشات عرضی (خمشی) یک تیر با شرایط مرزی متفاوت بیان شده است. که برای دیگر موارد نیز قابل بررسی است.

تحلیل ریاضی مسئله:

رابطه نسبت ریلی در حالت کلی به صورت زیر است که در آن S ناحیه‌ای است که معادله مشخصه در آن برقرار است (تمام طول تیر):

$$R(w) = \frac{\int_S w L[w] ds}{\int_S w M[w] ds} = \frac{A(w)}{B(w)} = \omega^2$$

با قراردادن شکل مود طبیعی w_n به جای w ، فرکانس طبیعی ω_n^2 به دست می‌آید. و از قرار دادن هر شکل مود مقیدی، فرکانس آن مود مقید حاصل می‌شود. بنابراین برای ارتعاشات خمشی خواهیم داشت:

$$R(w) = \omega^2 = \frac{\int_0^L EI w(x) w^{IV}(x) dx}{\int_0^L m w^2(x) dx} = \frac{EI \int_0^L w(x) w^{IV}(x) dx}{m \int_0^L w^2(x) dx}$$

و پس از انتگرالگیری از طریق جزء به جزء داریم:

معادله حرکت برای ارتعاشات عرضی یک تیر به صورت معادله دیفرانسیل زیر است، که در آن $w(x)$ شکل مود است:

$$\frac{d^2}{dx^2} \left[EI(x) \frac{d^2 w(x)}{dx^2} \right] - \omega^2 m(x) w(x) = 0$$

در این رابطه، EI ضریب صلبیت خمشی و m جرم بر واحد طول تیر، به صورت تابعی از x بیان شده‌اند که اگر در سراسر تیر مقداری ثابت داشته باشند، خواهیم داشت:

$$EI \frac{d^4}{dx^4} w(x) - \omega^2 m w(x) = 0$$

در مقایسه با شکل کلی مسئله مقدار مشخصه:

$$L[w] = \lambda M[w]$$

دیده می‌شود که عملگرهای L و M عبارت‌اند از:

$$L = EI \frac{d^4}{dx^4}, \quad M = m$$

* دانشجوی فوق لیسانس دانشکده فنی - گروه مهندسی مکانیک

** استاد دانشکده فنی - گروه مهندسی مکانیک

با در دست داشتن $w(x)$ می توان مقادیر $A(w)$ و $B(w)$ را حساب کرد :

$$A(w) = EI \int_0^L (w''(x))^2 dx$$

$$B(w) = m \int_0^L (w(x))^2 dx \quad R(w) = w^2 = \frac{A(w)}{B(w)}$$

$$w(x) = \sum_{i=1}^n w_i(x) \prod_{\substack{k=1 \\ k \neq i}}^n (p-k) \quad w''(x) = \sum_{i=1}^n w_i''(x) \prod_{\substack{k=1 \\ k \neq i}}^n (p-k)$$

$$\begin{cases} A(w) = EI \int_0^L \left\{ \sum_{i=1}^n w_i''(x) \prod_{\substack{k=1 \\ k \neq i}}^n (p-k) \right\}^2 dx \\ B(w) = m \int_0^L \left\{ \sum_{i=1}^n w_i(x) \prod_{\substack{k=1 \\ k \neq i}}^n (p-k) \right\}^2 dx \end{cases}$$

اما از شرط تعامد برای مسئله مقدار مشخصه عام داریم :

$$\begin{aligned} w_i(x) M[w_j(x)] ds &= m \int_0^L w_i(x) w_j(x) dx = 0 \quad i \neq j \\ w_i(x) L[w_j(x)] ds &= EI \int_0^L w_i(x) \frac{d^4 w_j(x)}{dx^4} dx = 0 \quad i \neq j \end{aligned}$$

و با انتگرال گیری جزء به جزء به دست می آید

$$EI \int_0^L w_i''(x) w_j''(x) dx = 0 \quad i \neq j$$

بنابراین در عبارات $A(w)$ و $B(w)$ تنها توانهای دوم $w_i(x)$ و $w_i''(x)$ باقی می ماندند .
بنابراین .

$$\begin{cases} A(w) = EI \sum_{i=1}^n \int_0^L (w_i''(x))^2 \prod_{\substack{k=1 \\ k \neq i}}^n (p-k)^2 dx \\ B(w) = m \sum_{i=1}^n \int_0^L (w_i(x))^2 \prod_{\substack{k=1 \\ k \neq i}}^n (p-k)^2 dx \end{cases}$$

$$R(w) = w^2 = \frac{EI \int_0^L (w''(x))^2 dx}{m \int_0^L w^2(x) dx}$$

اینک تابع کلی شکل مود را بر حسب شکل مودهای طبیعی به صورت زیر تعریف می کنیم :

$$w(x) = \sum_{i=1}^n w_i(x) \prod_{\substack{k=1 \\ k \neq i}}^n (p-k) \quad (1)$$

که شبیه به رابطه درونیایی (انترپولاسیون) لاگرانژ است ، به این صورت که هرگاه به جای متغیر مستقل p ، عددی طبیعی $(1, 2, \dots, n)$ که معرف یک مود طبیعی است قرار گیرد ، شکل مود به صورت زیر در خواهد آمد که ضریبی از شکل مود طبیعی با همان شماره است .

$P=i$ (عدد طبیعی مابین $n, 1$)
 $w(x) = w_i(x) \prod_{\substack{k=1 \\ k \neq i}}^n (i-k)$
 توجه شود که تساوی p و i ضرایب دیگر مودها را صفر می کند . استفاده از این رابطه در نسبت ریلی به ازای $P=i$ ، فرکانس طبیعی w_i^2 را می دهد زیرا مجذور ضریب اضافی $\prod_{\substack{k=1 \\ k \neq i}}^n (i-k)$ از صورت و مخرج می شود .
 اگر از خود رابطه درونیایی لاگرانژ استفاده کنیم .

$$w(x) = \sum_{i=1}^n w_i(x) \frac{\prod_{k=1}^n (p-k)}{\prod_{\substack{k=1 \\ k \neq i}}^n (i-k)} \quad (2)$$

به ازای $P=i$ خواهیم داشت :
 $w(x) = w_i(x)$

که دقیقاً همان شکل مود طبیعی سیستم است و اگرچه استفاده از این رابطه در نسبت ریلی به ازای $P=i$ بازم w_i^2 را خواهد داد اما تفاوت این دو روش وقتی ظاهر می شود که P عددی طبیعی نباشد ، در این صورت $w(x)$ ، ترکیب خطی از شکل مودهای طبیعی با ضرایبی متفاوت است و دیگر مقادیر نسبت ریلی به ازای دو روش برابر نخواهد بود ، در باره نحوه تفاوت این دو روش بحث خواهد شد .

دیده می شود که حل تحلیلی برای محاسبه $A(w)$ و $B(w)$ چندان ساده نخواهد بود. یادآوری می شود که در این مبحث از حرکت جسم صلب تیر که برای آن $w=0$ است به عنوان اولین فرکانس طبیعی، صرف نظر نموده و کوچکترین فرکانس غیر صفر را فرکانس طبیعی مود اول در نظر می گیریم. حال به محاسبات ریاضی می پردازیم:

$$\begin{cases} w_i^2(x) = A^2 \cos^2(\beta_i x) \\ w_i^2(x) = A^2 \sin^2(\beta_i x) \end{cases} \begin{cases} w_i^2(x) = A^2 \beta_i^4 \cos^2(\beta_i x) \quad (F-F) \\ w_i^2(x) = A^2 \beta_i^4 \sin^2(\beta_i x) \end{cases} \text{بقیه حالتها}$$

الف) حالت تیر دوسر آزاد (F-F):

$$A(w) = EI \sum_{i=1}^n \int_0^L \{ A^2 \beta_i^4 \cos^2(\beta_i x) \prod_{\substack{k=1 \\ k \neq i}}^n (p-k)^2 \} dx$$

$$A(w) = EIA^2 \sum_{i=1}^n \beta_i^4 \left(\int_0^L \cos^2(\beta_i x) dx \right) \prod_{\substack{k=1 \\ k \neq i}}^n (p-k)^2$$

$$B(w) = mA^2 \sum_{i=1}^n \left(\int_0^L \cos^2(\beta_i x) dx \right) \prod_{\substack{k=1 \\ k \neq i}}^n (p-k)^2$$

ب) در بقیه حالات، برای $A(w)$ و $B(w)$ شبیه همین روابط به دست می آید فقط به جای $\cos^2(\beta_i x)$ باید $\sin^2(\beta_i x)$ قرار دارد، اما از طرفی

$$\sin^2(\beta_i x) = \frac{1 - \cos(2\beta_i x)}{2} \quad \text{و} \quad \cos^2(\beta_i x) = \frac{1 + \cos(2\beta_i x)}{2}$$

و به طور کلی می توان نوشت:

$$\begin{cases} A(w) = \left[\sum_{i=1}^n \beta_i^4 S_i \prod_{\substack{k=1 \\ k \neq i}}^n (p-k)^2 \right] EIA^2 \\ B(w) = \left[\sum_{i=1}^n S_i \prod_{\substack{k=1 \\ k \neq i}}^n (p-k)^2 \right] mA^2 \end{cases}$$

که در آنها:

$$S_i = \int_0^L \left[\frac{1 \pm \cos(2\beta_i x)}{2} \right] dx$$

حال باقی می ماند تعیین توابع شکل مودهای طبیعی $w_i(x)$ ، برای ابتدا و انتهای تیر، شرایط مرزی گوناگونی می توان در نظر گرفت. مانند: درگیر (Clamped)، لولا شده (Hinged)، هدایت شده (Guided) و آزاد (Free). برای هر یک از دوسر تیر می توان هر یک از این چهار حالت را اختیار کرد که با ترکیب آنها و حذف حالات تکراری، ۱۰ حالت ممکن خواهد شد، برای چنین تیرهایی که تحت ارتعاش خمشی قرار دارند فرض می کنیم:

$$\begin{cases} w_i(x) = A \cos(\beta_i x) & \text{(a) تیر دوسر آزاد} \\ w_i(x) = A \sin(\beta_i x) & \text{(b) بقیه حالات} \end{cases}$$

می دانیم که رابطه (b) برای حالت در سر لولا (H-H) صحیح و دقیق بوده و داریم:

$$w_i(x) = \sqrt{\frac{2}{mL}} \sin(\beta_i x) \quad \text{و} \quad \beta_i = \frac{i\pi}{L}$$

که توابع $w_i(x)$ نسبت به اپراتور M^m یا جرم بر واحد طول (نرمالیزه شده اند. رابطه (b) برای حالات دوسر هدایت شده (H-H) و یک سر لولا و یک سر هدایت شده (H-G) نیز دقیق است، اما برای بقیه حالاتها، روابط (a) و (b) دقیق نبوده و تقریبی است. به ویژه برای $i < 3$ برای حالات (F-G)، (C-G)، (F-H)، (C-H) شکل مود فرض شده از رابطه (b)، حتی شرط تعاد مودهای طبیعی را برآورده نمی کند. مهذا چون به یک تحلیل کیفی پرداخته ایم، فعلاً خود را مجاز به استفاده از این روابط دانسته و در انتها عواقب آنرا بررسی می کنیم شکل مودهای واقعی و دقیق در موارد فوق پیچیده بوده و کاربرد آنها در نسبت ریلی، مستلزم استفاده گسترده ای از روشهای عددی است، که بررسی کاملتر به فرصت بعدی موکول می شود در اینجا تنها به عنوان مثال، شکل مود طبیعی برای حالت (C-F) را در نظر می گیریم:

$$w_i(x) = \frac{1}{2c} \left[M(\sin(\beta_i x) - \sinh(\beta_i x)) + N(\cosh(\beta_i x) - \cos(\beta_i x)) \right]$$

که در آن:

$$M = \cosh(\beta_i L) + \cos(\beta_i L)$$

$$N = \sinh(\beta_i L) + \sin(\beta_i L)$$

$$C = \sin(\beta_i L) \cosh(\beta_i L) - \cos(\beta_i L) \sinh(\beta_i L)$$

و اگر از رابطه درونیابی لاکرانژ استفاده کنیم با طی همین مسیر خواهیم داشت :

$$\frac{\omega^2(p)}{\omega_1^2} = \frac{1}{\alpha_1^4} \frac{\sum_{i=1}^n \alpha_i^4 T_i \prod_{k=1, k \neq i}^n (p-k)^2}{\sum_{i=1}^n T_i \prod_{k=1, k \neq i}^n (i-k)^2} \quad (B)$$

با استفاده از جدول توابع مشخصه مودهای ارتعاشی تیرهاو حذف حالات حرکت جسم صلب با فرکانس $\omega=0$ که در موارد (F-F), (F-G), (G-G) و (F-H) وجود دارد، برای α_i و T_i به جای i مقدار $i+1$ را منظور می‌کنیم و ۱۰ حالت مختلف به ۵ حالت تقلیل می‌یابد و خواهیم داشت: (علامت * برای شکل مودهای دقیق است)

Boundary condition	α_i	T_i	α_i	T_i
(F) & (C-C)	$\frac{2i+1}{2}\pi$	$\frac{2i+1}{2}$	3/2	0
(G) & (C-G)	$\frac{4i-1}{4}\pi$	$\frac{4i-1}{4}$	3/4	-1
(H) & (C-H)	$\frac{4i+1}{4}\pi$	$\frac{4i+1}{4}$	5/4	+1
(G)* & (H-H)*	$i\pi$	i	1	0
(H)* & (C-F)	$\frac{2i-1}{2}\pi$	$\frac{2i-1}{2}$	1/2	0

exact

ممکن است این سوال پیش آید که چرا رابطه درونیابی لاکرانژ مستقیماً " برای مجذور فرکانسهای طبیعی استفاده نمی‌شود به این صورت که :

$$\frac{\omega^2(p)}{\omega_1^2} = \frac{1}{\omega_1^2} \sum_{i=1}^n \omega_i^2 \prod_{k=1, k \neq i}^n \frac{(p-k)}{(p-i)} \quad (C)$$

مجدداً این روش به ازای مقادیر اعداد طبیعی برای p ، یعنی $p=i$ مجذور فرکانس طبیعی همان شماره یعنی همان ω_i^2 راه دست می‌دهد، ولی باز تفاوت در اعداد صحیح برای p است.

در نمودارهای (1) تا (4)، منحنی توابع $\omega^2(p)$ برای حالت (H-H) یا (G-G) با استفاده از رابط (A) تا (C) رسم شده که در آنها: $\alpha_1=1, \alpha_i=i, T_i=0 \Rightarrow T_i=1$

علامت مثبت برای حالت (F-F) و علامت منفی برای بقیه حالتهاست. حال تعریف می‌کنیم :

$$\beta_i = \frac{\alpha_i \pi}{L} \Rightarrow \alpha_i = \frac{\beta_i L}{\pi}$$

$$S_i = \left[\frac{x}{L} \pm \frac{\sin(2\beta_i x)}{4\beta_i} \right]_0^L = \left[\frac{L}{2} \pm \frac{\sin(2\beta_i L)}{4\beta_i} \right] \Rightarrow$$

$$S_i = \left[\frac{L}{2} \pm \frac{\sin(2\pi\alpha_i)}{4\pi\alpha_i/L} \right] = \frac{L}{2} \left[1 \pm \frac{\sin(2\pi\alpha_i)}{2\pi\alpha_i} \right] = \frac{L}{2} T_i$$

$$\omega^2(p) = \frac{A(w)}{B(w)} = \frac{EIA^2 L/2}{mA^2 L/2} \frac{\sum_{i=1}^n (\beta_i^4 T_i \prod_{k=1, k \neq i}^n (p-k)^2)}{\sum_{i=1}^n (T_i \prod_{k=1, k \neq i}^n (p-k)^2)}$$

$$\Rightarrow \omega^2(p) = \frac{EI \pi^4}{m L^4} \frac{\sum_{i=1}^n (\alpha_i^4 T_i \prod_{k=1, k \neq i}^n (p-k)^2)}{\sum_{i=1}^n (T_i \prod_{k=1, k \neq i}^n (p-k)^2)}$$

$$\omega_i = (\beta_i L)^2 \sqrt{\frac{EI}{mL}} = \beta_i^2 \sqrt{\frac{EI}{m}}$$

$$\Rightarrow \omega_i^2 = \beta_i^4 \frac{EI}{m} = \alpha_i^4 \frac{\pi^4}{L^4} \frac{EI}{m}$$

$$\Rightarrow \omega_1^2 = \alpha_1^2 \frac{\pi^4}{L^4} \times \frac{EI}{m} \Rightarrow \frac{\pi^4}{L^4} \frac{EI}{m} = \frac{\omega_1^2}{\alpha_1^4}$$

$$\frac{\omega^2(p)}{\omega_1^2} = \frac{1}{\alpha_1^4} \frac{\sum_{i=1}^n (\alpha_i^4 T_i \prod_{k=1, k \neq i}^n (p-k)^2)}{\sum_{i=1}^n (T_i \prod_{k=1, k \neq i}^n (p-k)^2)} = A$$

$$\alpha_i = \frac{\beta_i L}{\pi}$$

$$T_i = \left[1 \pm \frac{\sin(2\pi\alpha_i)}{2\pi\alpha_i} \right] = \left[1 \pm \frac{t_i}{2\pi\alpha_i} \right]$$

علامت مثبت برای حالت (F-F) و منفی برای بقیه حالات است.

طبیعی به عنوان فرضهای تقریبی چندان غیر معقول نبوده و قابل قبول است.

(۲) نکته قابل توجه آنست که هرچه از مود طبیعی اول دور می شویم، شکل منحنی در نقاط اکسترمم، از یک مینیمم کاملاً مشخص، بتدریج به سمت یک ماکزیمم، میل می کند (تغییر تدریجی مقدار مشتق دوم تابع $\frac{\omega_2(p)}{\omega_1^2}$ از یک مقدار مثبت به صفر و سپس به یک مقدار منفی در نقاط اکسترمم)، بطوری که در حوالی مود چهارم (باقابل آخر)، شکل منحنی به یک پله یا نقطه عطف در منحنی $y=x^3$ شباهت دارد، در صورتی که در مود پنجم، کاملاً یک ماکزیمم مشاهده می شود.

نهایتاً باید گفت که عدد p معرف میزان مقید بودن سیستم است، که وقتی یک عدد طبیعی باشد، یعنی $p=1$ آنگاه سیستم مقید نبوده و ارتعاش آن در مود طبیعی صورت می گیرد و در حوالی هر مود طبیعی (مگر آخرین مود طبیعی که مسئله برعکس است) فرکانس ارتعاش سیستم مقید از فرکانس طبیعی همان مود ارتعاشی سیستم بزرگتر است.

در نمودارهای (5) و (6) منحنی توابع $\omega_2^2(p)$ برای همه حالاتها با استفاده از روابط (A) رسم شده. کلیه نمودارها در صفحه مختصات $p-\gamma$ و برای $p = \log_{10} \gamma$ فاصله $0.5 < p < 6.5$ رسم شده که در آن: $\gamma = \frac{\omega_2^2(p)}{\omega_1^2}$ می باشد. باید دانست که تنها 5 مود اول در نظر گرفته شده است بنابراین شکل مود سیستم ارتعاشی پیوسته (تیر) برحسب مختصات 5 نقطه معین از آن بیان شده و واضح است که شکل مود ششم به بعد نمی تواند برحسب مختصات 5 نقطه از تیر بیان شود و فرکانس طبیعی پنجم، بزرگترین فرکانس طبیعی خواهد بود، به بیان دیگر یک سیستم پیوسته به سیستمی مجزایا 5 درجه آزادی تقریب شده است، فرض $n=5$ برای همه نمودارها برقرار است زیرا نامحدود فرض کردن n (یعنی آنچه در واقعیت وجود دارد) محاسبات را غیر ممکن می سازد.

نتایج به دست آمده:

الف، نمودارهای (1) تا (4)

۱ - منحنی A که از درونیایی "شبه لاگرانژ" بین شکل مودهای طبیعی حاصل شده، انتظارهای ما را برآورده می سازد، در مود اول یک مینیمم مطلق، و در مود آخر یک ماکزیمم مطلق وجود دارد و در سایر مودهای طبیعی مینیمم نسبی داریم و نتیجتاً در تمام مودهای طبیعی اکسترمم وجود دارد و دینامیک نقطه ایستاست.

۲ - منحنی B که از درونیایی "لاگرانژ" بین شکل مودهای طبیعی حاصل شده در مود چهارم دارای یک ماکزیمم است، پس این طریق، روشی مناسب برای مدلسازی رفتار تابع ω_2^2 در بین مودهای طبیعی نیست.

۳ - درونیایی لاگرانژی بین مجذور فرکانسهای طبیعی، اگرچه قسمتی از یک منحنی درجه چهار است، اما بخشی هموار و اکیدا "یکنوا بوده و شامل هیچ اکسترممی نیست، بنابراین این روش به هیچ وجه برای مدلسازی مناسب نخواهد بود. ب، نمودارهای (5)، (6):

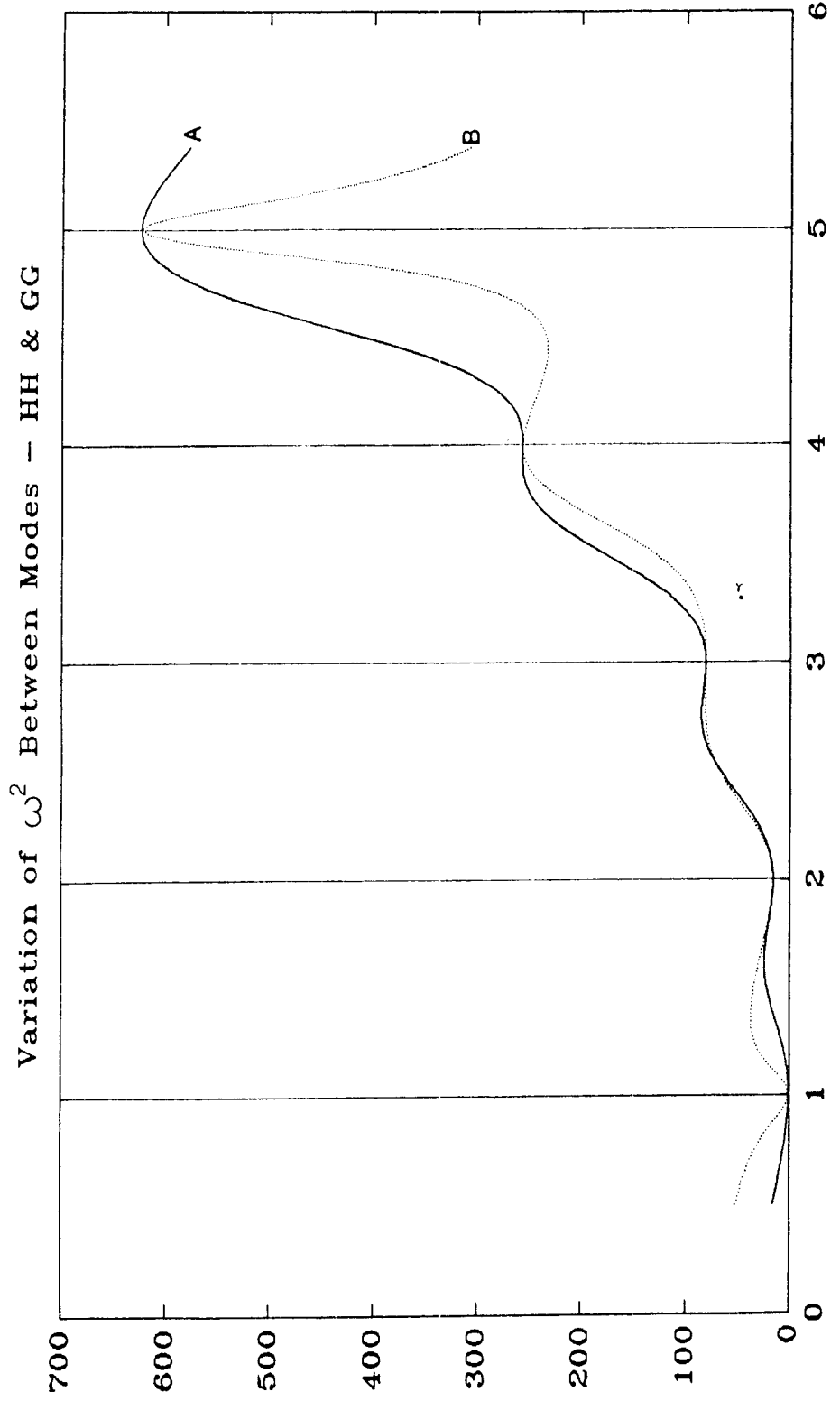
۱ - منحنیهای مربوط به هر 5 حالت با استفاده از رابطه A رسم شده که در همه موارد با انتظارات ما سازگار است و فرض روابط (a) و (b) برای شکل مودهای

فهرست منابع :

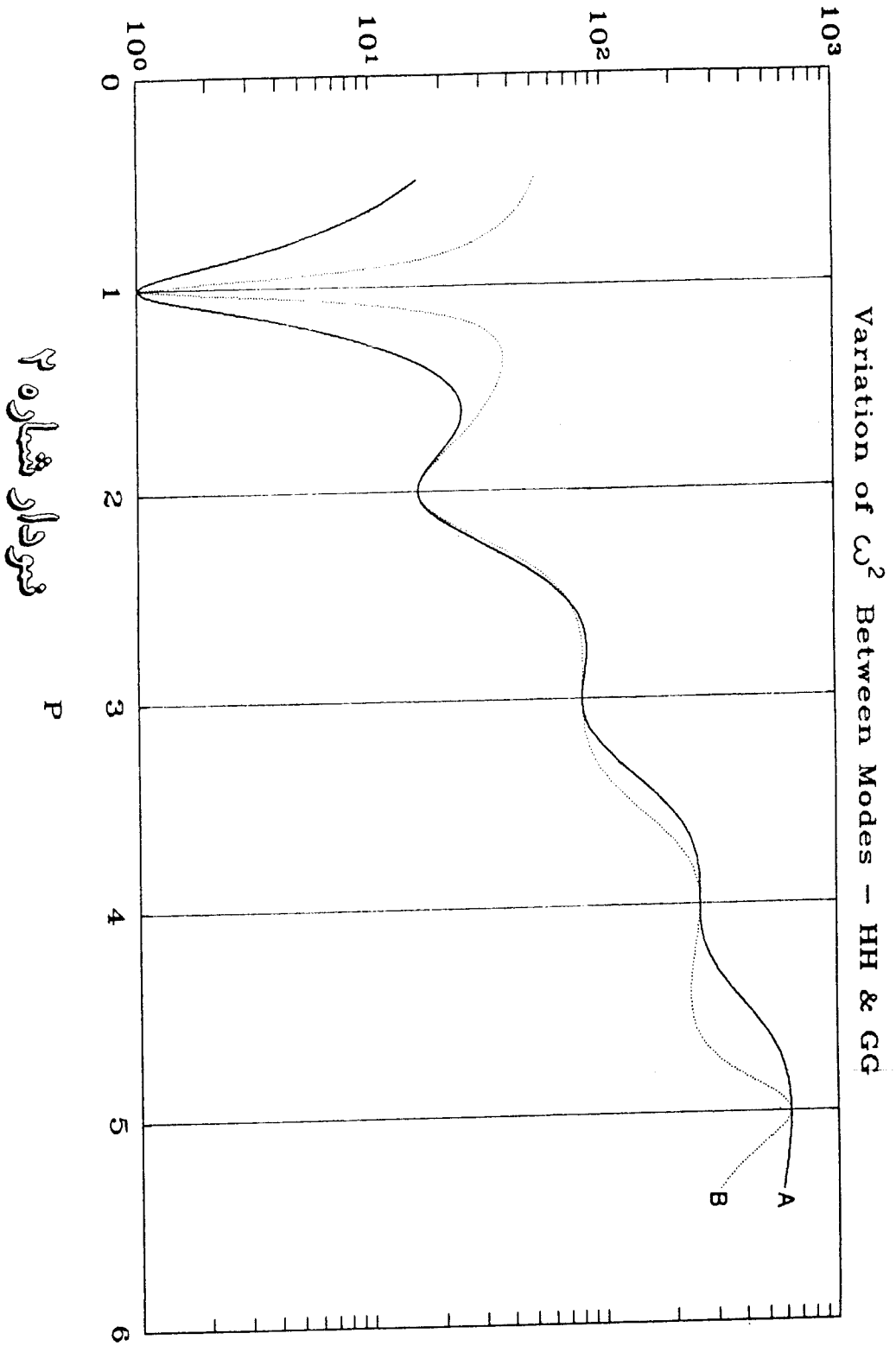
- 1) Lord Rayleigh: "The Theory of Sounds, Engineering," Dover publication Inc.,
"Dover publication Inc., New York, 1945. New York, 1956.
- 2) Temple, G. and W.G. Bickley: "Rayleigh's principle and its Applications to
3) Hurty, Walter C. and M.F. Rubenstein: "Dynamics of Structures," prentice Hall
Inc., N.J., 1964.

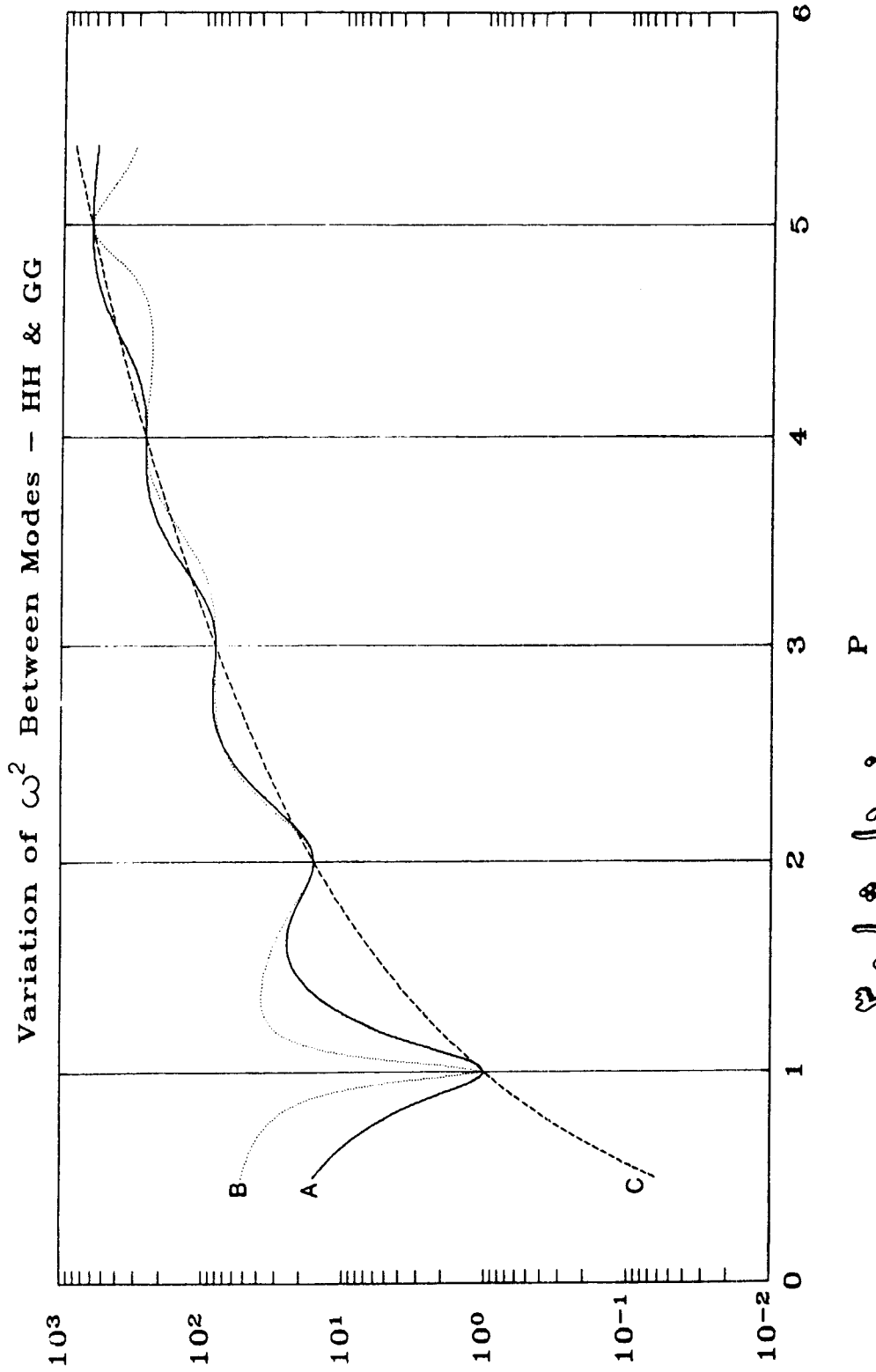
۴) جزوه ارتعاشات پیشرفته - دکتر منصور نیکخواه بهرامی، دانشگاه تهران، دانشکده فنی.

۵) جزوه محاسبات عددی پیشرفته - دکتر منصور نیکخواه بهرامی، دانشگاه تهران، دانشکده فنی.

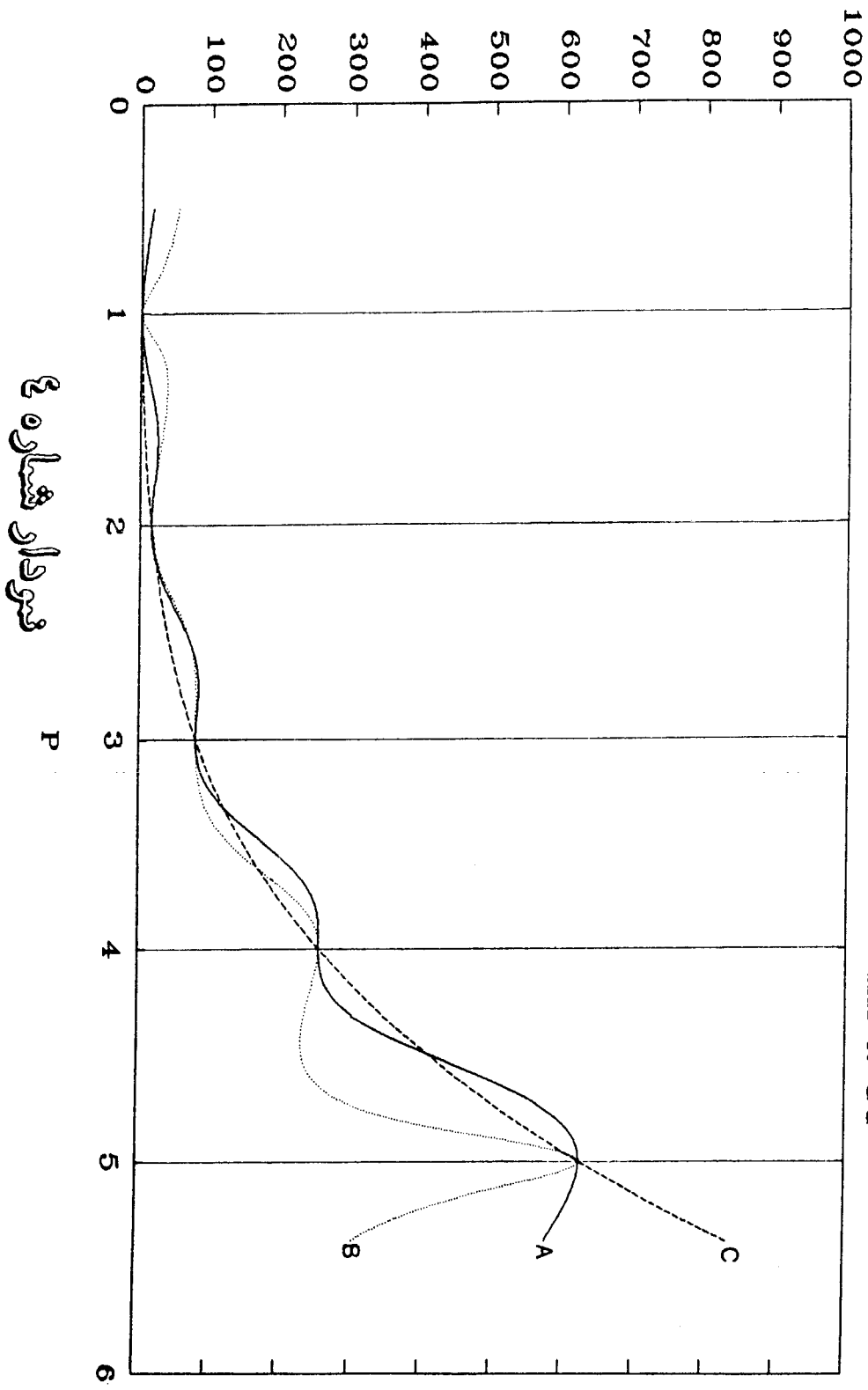


شماره ۱





Variation of ω^2 Between Modes - HH & GG



فرداد شماره ۴

P

